

Ю. В. Немировский<sup>1,2</sup>, С. В. Тихонов<sup>3</sup>

## ИССЛЕДОВАНИЕ ОСОБЕННОСТЕЙ ДЕФОРМИРОВАНИЯ И РАЗРУШЕНИЯ БЕТОННЫХ СЛОИСТЫХ СТЕРЖНЕЙ

<sup>1</sup>Институт теоретической и прикладной механики им. С. А. Христиановича СО РАН,  
г. Новосибирск, Россия

<sup>2</sup>Новосибирский государственный технический университет, г. Новосибирск, Россия

<sup>3</sup>Чувашский государственный университет им. И. Н. Ульянова, г. Чебоксары, Россия

**Аннотация.** Рассматривается задача центрального растяжения однородного и многослойного бетонного стержня квазистатическими нагрузками. В качестве распределенной нагрузки принимается сила тяжести, действующая на стержень. Определены предельные нагрузки и удлинения стержня в зависимости от физических параметров стержня. При деформации ниже предельной упругой предполагается, что бетон деформируется линейно, в противном случае нелинейно неупруго. Приведены примеры расчетов по полученным соотношениям для слоистых стержней одинаковой массы, где в каждом слое могут быть реализованы различные марки бетонов.

**Ключевые слова:** многослойный стержень, центральное растяжение, физическая нелинейность, предельные нагрузки

DOI: 10.37972/chgpu.2022.51.1.007

УДК: 539.374

В качестве объекта исследования будем рассматривать многослойные гибридные стержневые конструкции в условиях одноосного нагружения растяжением или сжатием. Будем предполагать, что существующие технологии изготовления гибридных

---

© Немировский Ю. В., Тихонов С. В., 2022

*Немировский Юрий Владимирович*

e-mail: nemiyury@mail.ru, доктор физико-математических наук, профессор, главный научный сотрудник, Институт теоретической и прикладной механики им. С. А. Христиановича СО РАН, г. Новосибирск, Россия, профессор Новосибирский государственный технический университет, г. Новосибирск, Россия.

*Тихонов Сергей Владимирович*

e-mail: strangcheb@mail.ru, кандидат физико-математических наук, доцент кафедры компьютерных технологий, Чувашский государственный университет им. И. Н. Ульянова, г. Чебоксары, Россия.

Поступила 01.05.2022

многофазных слоистых конструкций [1] позволяют создавать идеальные с точки зрения деформирования конструкции, обеспечивающие непрерывное вдоль оси деформирование всех фазовых материалов, без взаимных проскальзываний и отрывов. Будем считать, что также в рассматриваемых конструкциях все составляющие фазовые материалы являются бетонами разных марок, подчиняющимися единообразным сходственным диаграммам деформирования от начала нагружения и до разрушения. При этом будем учитывать в разрабатываемых модельных расчетных схемах, что наблюдается практически при всех испытаниях и при эксплуатации конструкций из бетона существенно различно в их деформировании и характере разрушения в условиях нагружения растяжением или сжатием. Будем также считать, что деформационные процессы на всем этапе нагружения описываются физически-нелинейными зависимостями каждой фазы на всем этапе деформирования [2–17].

Обратим внимание на то обстоятельство, что используемые традиционные во всех расчетных методиках физические характеристики типа плотности и модуля упругости практически не меняются в пределах изготовления данного фазового материала по любым известным технологиям и их характеристики отличаются при переходе только от одной марки бетона к другой.

Будем считать также, как это обычно принимается при расчете стержневых конструкций, что размеры поперечного сечения исследуемых гибридных конструкций существенно меньше их продольных размеров.

Будем учитывать в дальнейшем, что используемые традиционно во всех методиках характеристики бетонов конкретной марки типа модулей упругости и удельной плотности при изготовлении испытываемых материалов практически остаются неизменными при изготовлении, но существенно отличаются при переходе от одной марки бетона к другой.

Возьмем в качестве эталонного стержня однородный стержень прямоугольного поперечного сечения с шириной  $2b_1$  и толщиной  $2\Delta_1$  (рис. 1). В рассматриваемых задачах будем использовать следующую систему координат: ось  $Ox$  направим вдоль центральной оси стержня, ось  $Oz$  направим вертикально вверх, начало координат  $O$  поместим в центр грани левого конца стержня.

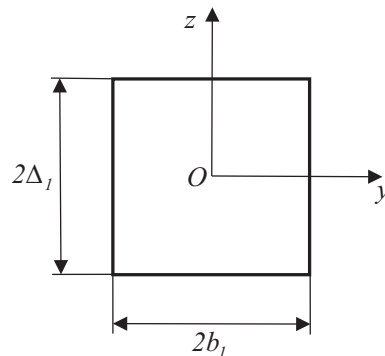


Рис. 1. Поперечное сечение эталонного стержня

Обозначим через  $\sigma_*^+$ ,  $\sigma_*^-$  пределы прочности бетона,  $\varepsilon_0^+$ ,  $\varepsilon_0^-$  – предельные упругие деформации,  $\varepsilon_*^+$ ,  $\varepsilon_*^-$  – предельные деформации упрочнения (предразрушения) [18,

19],  $E^+$ ,  $E^-$  – начальные модули упругости бетона соответственно при растяжении и сжатии.

В дальнейшем во всех расчетах будем использовать обезразмеренные величины

$$\tilde{C} = \frac{C}{C_1}, \quad \tilde{\sigma} = \frac{\sigma}{\sigma_{1*}^-}, \quad \tilde{E} = \frac{E}{\sigma_{1*}^-}, \quad \tilde{b}_i = \frac{b_i}{l}, \quad \tilde{\Delta}_i = \frac{\Delta_i}{l}, \quad \tilde{P} = P \frac{1}{l^2 \sigma_{1*}^-}, \quad \tilde{q} = q \frac{1}{l \sigma_{1*}^-}, \quad (1)$$

$$\tilde{N} = N \frac{1}{l^2 \sigma_{1*}^-}, \quad \tilde{u} = \frac{u}{l}.$$

где обезразмеривающие величины:  $\sigma_{1*}^-$  – предел прочности при сжатии бетона марки В10,  $l$  – длина стержня;  $P$  – величина точечной нагрузки,  $q$  – величина распределенной нагрузки,  $N$  – величина продольного усилия,  $u$  – величина перемещений вдоль оси  $Ox$ .

В дальнейшем надстрочный индекс « $\sim$ » во всех формулах и обозначениях будем опускать.

На диаграмме деформирования бетона отметим характерные точки  $D^-$ ,  $C^-$ ,  $B^-$ ,  $B^+$ ,  $C^+$ ,  $D^+$ . Участки  $B^-OB^+$  соответствуют упругой работе бетона,  $C^-OC^+$  – участкам сохранения сплошности, а участки  $D^-C^-$  и  $C^+D^+$  соответствуют участкам нарушения сплошности, сопровождающимся интенсивными процессами трещинообразования.

Значение указанных точек по результатам экспериментов [20, 21] для бетонов марок В10, В30, В50 приведены в таблицах 1, 2.

Если деформация не превышает предельных упругих деформаций (участок  $B^-OB^+$ ), тогда имеем

$$\sigma = E^- \varepsilon \quad \text{при} \quad -\varepsilon_0^- \leq \varepsilon \leq 0, \quad (2)$$

$$\sigma = E^+ \varepsilon \quad \text{при} \quad 0 \leq \varepsilon \leq \varepsilon_0^+. \quad (3)$$

Марка бетона	$C$	$\sigma_0^-$	$\sigma_*^-$	$\sigma_{**}^-$	$\varepsilon_0^-, 10^{-2}$	$\varepsilon_*^-, 10^{-2}$	$\varepsilon_{**}^-, 10^{-2}$	$E^-$
В10	1	0,36	1	0,35	0,0047	0,2	0,35	2233
В30	1,23	1,21	2,91	2,14	0,018	0,2	0,3	4304
В50	1,45	2,01	4,8	4,38	0,014	0,2	0,25	5160

Таблица 1. Значения физических параметров бетонов

Марка бетона	$\sigma_0^+$	$\sigma_*^+$	$\sigma_{**}^+$	$\varepsilon_0^+, 10^{-2}$	$\varepsilon_*^+, 10^{-2}$	$\varepsilon_{**}^+, 10^{-2}$	$E^+$
В10	0,09	0,11	0,08	0,005	0,015	0,02	2057
В30	0,19	0,24	0,19	0,005	0,015	0,02	4243
В50	0,25	0,3	0,28	0,00375	0,015	0,02	7110

Таблица 2. Значения физических параметров бетонов

В случае, когда деформация превышает предельную упругую, но меньше предельной деформации упрочнения (участки  $C^-B^-$ ,  $B^+C^+$ ), закон деформирования бетона

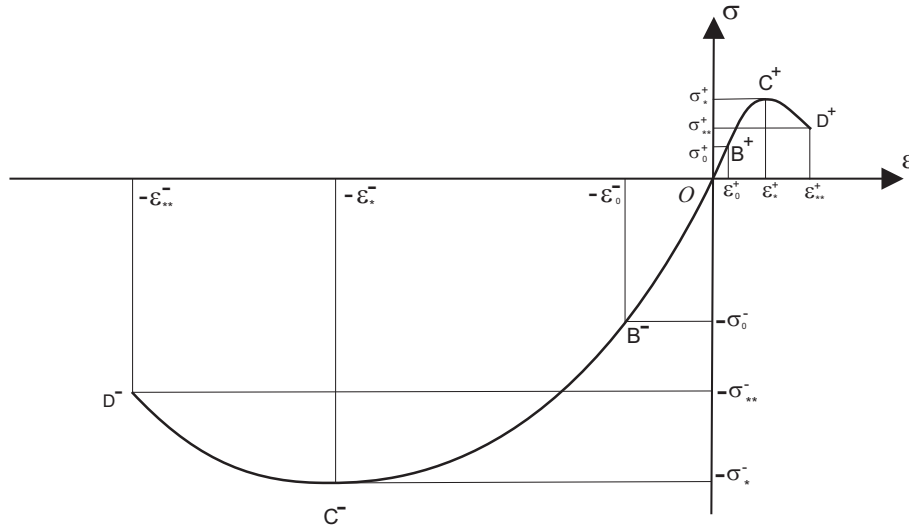


Рис. 2. Диаграмма деформирования бетона

для каждого слоя будем принимать в виде аппроксимации полиномом второго или третьего порядка [2, 5].

Для аппроксимации диаграммы деформирования бетона  $\sigma = f(\varepsilon)$  на указанном участке для зон растяжения и сжатия можно использовать одни и те же функции с одними и те же коэффициентами. Тогда для случая полинома второго порядка аппроксимация диаграммы будет иметь вид (4), а в случае полинома третьего порядка (5).

$$\sigma_i = A_{1i}^2 \varepsilon + A_{2i}^2 \varepsilon^2, \quad (4)$$

$$\sigma_i = A_{1i}^3 \varepsilon + A_{2i}^3 \varepsilon^2 + A_{3i}^3 \varepsilon^3, \quad (5)$$

где коэффициенты  $A_{1i}^2, A_{2i}^2, A_{1i}^3, A_{2i}^3, A_{3i}^3$  можно определить из реальных диаграмм растяжения-сжатия бетонов.

В случае если использовать для зон растяжения и сжатия одни и те же функции, но с различными коэффициентами, тогда аппроксимации будут иметь вид (6), (7).

$$\sigma_i^{\pm} = A_{1i}^{2\pm} \varepsilon + A_{2i}^{2\pm} \varepsilon^2, \quad (6)$$

$$\sigma_i^{\pm} = A_{1i}^{3\pm} \varepsilon + A_{2i}^{3\pm} \varepsilon^2 + A_{3i}^{3\pm} \varepsilon^3, \quad (7)$$

где знаки «+» и «-» соответствуют зонам растяжения и сжатия соответственно.

Примеры расчета указанных коэффициентов, используя результаты экспериментов [20, 21] для аппроксимаций (3), (4) методом наименьших квадратов, приведены в таблицах 3, 4. В дальнейших расчетах положим, что модуль упругости бетона при растяжении и сжатии является одинаковым, т.е. примем  $E = E^+ = E^-$ .

Аналогичные расчеты коэффициентов для аппроксимаций (6), (7) методом наименьших квадратов приведены в таблице 5.

Марка бетона	$A_1^{3+}$	$A_2^{3+}$	$A_3^{3+}$	$A_1^{2+}$	$A_2^{2+}$
В10	3864,57	$-4,4 * 10^7$	$1,57 * 10^{11}$	2379,41	$-1,14 * 10^7$
В30	7770,69	$-8,55 * 10^7$	$2,99 * 10^{11}$	4920,89	$-2,31 * 10^7$
В50	11578,48	$-1,38 * 10^8$	$5,03 * 10^{11}$	6844,36	$-3,44 * 10^7$

Таблица 3. Значения коэффициентов аппроксимации диаграммы деформирования бетонов при растяжении полиномами второго и третьего порядка для соотношений (6), (7)

Марка бетона	$A_1^{3-}$	$A_2^{3-}$	$A_3^{3-}$	$A_1^{2-}$	$A_2^{2-}$
В10	2318,2	$1,82 * 10^6$	$4,59 * 10^8$	1532,63	542483.2160
В30	6052,14	$4,62 * 10^6$	$1,17 * 10^9$	4074,12	$1,35 * 10^6$
В50	10793,97	$8,44 * 10^6$	$2,15 * 10^9$	6997,58	$2,4 * 10^6$

Таблица 4. Значения коэффициентов аппроксимации диаграммы деформирования бетонов при сжатии полиномами второго и третьего порядка для соотношений (6), (7)

Марка бетона	$A_1^3$	$A_2^3$	$A_3^3$	$A_1^2$	$A_2^2$
В10	1875,87	$1,17 * 10^6$	$2,43 * 10^8$	1493,78	519354,19
В30	4151,89	$1,78 * 10^6$	$2,1 * 10^8$	3840,79	$1,22 * 10^6$
В50	7009,38	$3,01 * 10^6$	$3,36 * 10^8$	6495,96	$2,11 * 10^6$

Таблица 5. Значения коэффициентов аппроксимации диаграммы деформирования бетонов при растяжении полиномами второго и третьего порядка для соотношений (4), (5)

Диаграммы построенные по экспериментальным данным и по аппроксимирующим зависимостям (6), (7) приведены на рисунках 3, 4, 5.

Диаграммы, построенные по экспериментальным данным и по аппроксимирующим зависимостям (4), (5), приведены на рисунках 6, 7, 8.

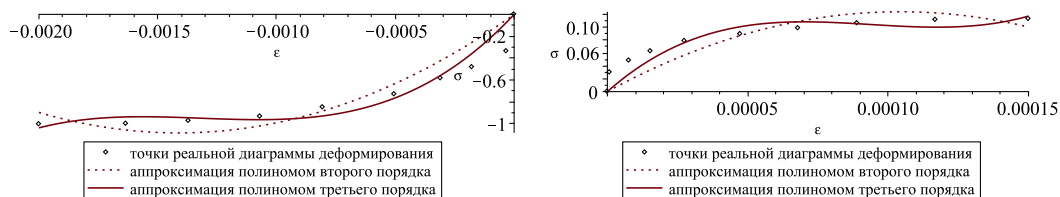


Рис. 3. Диаграммы, построенные по экспериментальным данным и по аппроксимирующим зависимостям (6), (7) для бетонов марки В10

Положим, что один конец стержня зашпелен, а на другой действует сосредоточенная сила  $P$ , приложенная к центру правой грани стержня (рис. 9). Будем считать,

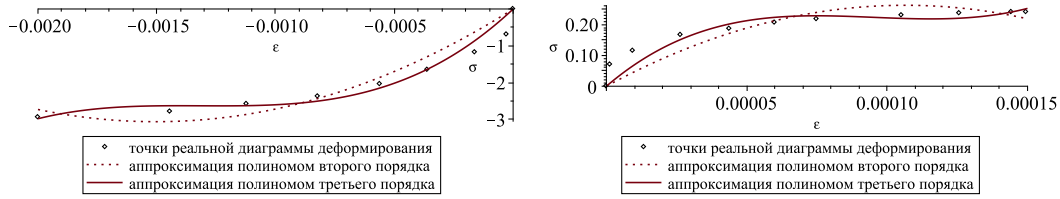


Рис. 4. Диаграммы, построенные по экспериментальным данным и по аппроксимирующим зависимостям (6), (7) для бетонов марки В30

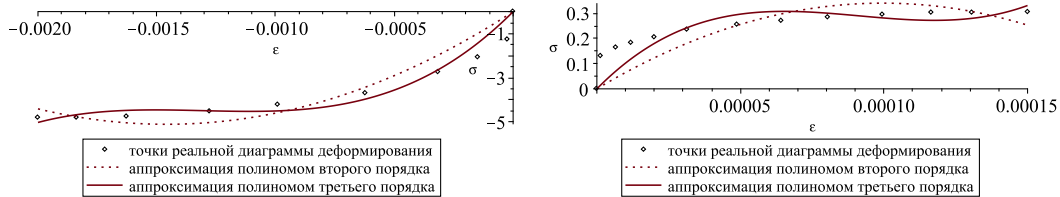


Рис. 5. Диаграммы, построенные по экспериментальным данным и по аппроксимирующим зависимостям (6), (7) для бетонов марки В50

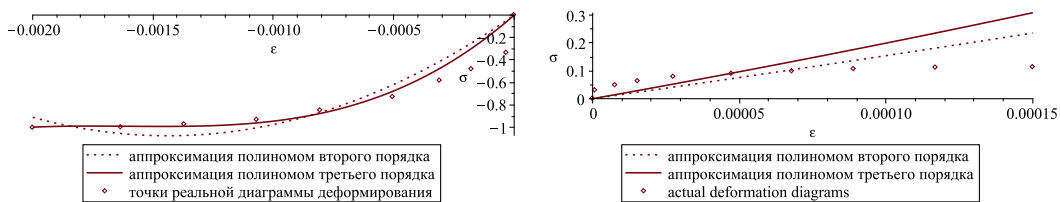


Рис. 6. Диаграммы, построенные по экспериментальным данным и по аппроксимирующим зависимостям (3), (4) для бетонов марки В10

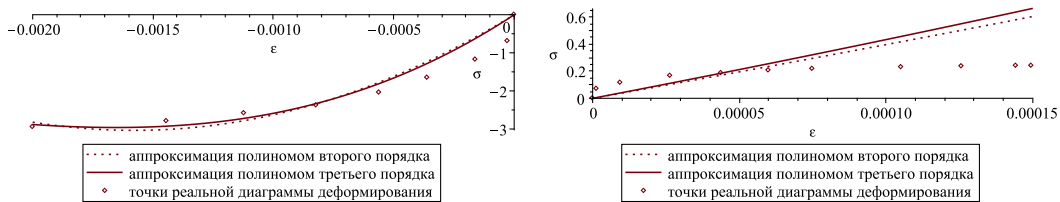


Рис. 7. Диаграммы, построенные по экспериментальным данным и по аппроксимирующим зависимостям (3), (4) для бетонов марки В30

что на стержень также действует распределенная нагрузка  $q(x)$ , под которой в данной работе будем понимать результат действия силы тяжести, направленной вдоль оси  $Ox$ .

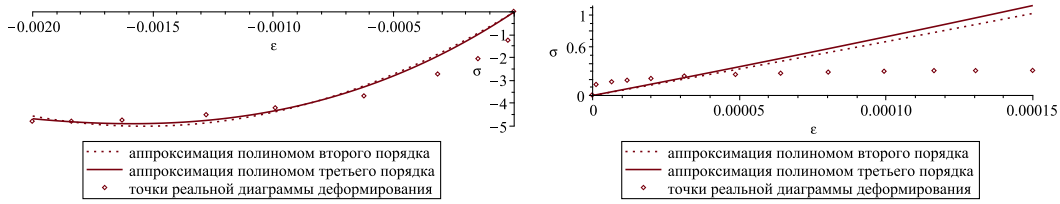


Рис. 8. Диаграммы, построенные по экспериментальным данным и по аппроксимирующим зависимостям (3), (4) для бетонов марки В50

В данном случае действие всех сил такое, что имеет место центральное растяжение-сжатие стержня.

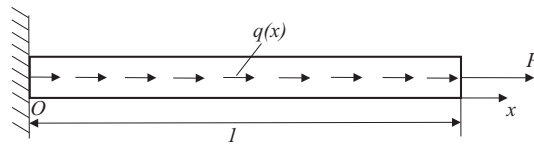


Рис. 9. Случай защемленного с левого края стержня

В указанной постановке данная задача является статически определимой. Уравнения равновесия в случае центрального растяжения-сжатия имеют вид

$$\frac{dN}{dx} = -q(x). \tag{8}$$

Если принять, что  $q(x)$  является результатом действия силы тяжести, то имеем, с учетом обезразмеривания согласно отношениям (1),

$$q(x) = q_g = \frac{4g}{l\sigma_{1*}} b_1 \Delta_1 \rho, \tag{9}$$

где  $g$  – величина ускорения свободного падения,  $\rho$  – плотность бетона материала стержня.

Интегрируя уравнение (8) с учетом (9), получим

$$\int_1^x dN = - \int_1^x q_g dx. \tag{10}$$

На правом конце стержня имеет место

$$N(1) = P. \tag{11}$$

Тогда для величины продольного усилия  $N$  будет справедливо

$$N(x) = P + (1 - x)q_g. \tag{12}$$

В данном случае во всех участках стержня имеет место  $N > 0$  и  $\varepsilon > 0$ . Причем величина продольного усилия  $N$  линейно увеличивается вдоль оси стержня и принимает наибольшее значение в месте защемления  $x = 0$ .

В зависимости от приложенных усилий  $q_g$ ,  $P$  возможны следующие случаи

- (1)  $\forall x \in [0, 1] : 0 \leq \varepsilon(x) < \varepsilon_0^+$
- (2)  $\forall x \in [0, x_e] : 0 \leq \varepsilon(x) < \varepsilon_0^+$ ,
- (3)  $\forall x \in [x_e, 1] : \varepsilon_0^+ \leq \varepsilon(x) < \varepsilon_*^+$ ,
- (4)  $\forall x \in [0, 1] : \varepsilon_0^+ \leq \varepsilon(x) < \varepsilon_*^+$ .

Первый случай реализуется, когда величина нагрузок такова, что деформации не превышает предельно упругие. Принимая во внимание, что значение  $q_g$  фиксировано для данного сечения стержня и набора материалов, определим величину  $P_0$ , которая соответствует предельной упругой нагрузке.

Наибольшие по величине деформации будут в левом конце стержня, тогда для указанного сечения имеем из (12)

$$P_0 = N(0) - q_g. \quad (13)$$

В указанном случае по всей длине стержня справедливо упругое деформирование, тогда

$$N = 4 \int_0^{\Delta_1} \int_0^{b_1} \sigma dy dz = 4\Delta_1 b_1 \sigma = 4\Delta_1 b_1 E \varepsilon. \quad (14)$$

Наибольшее значение продольного усилия в указанном случае может быть реализовано при  $\varepsilon = \varepsilon_0^+$ . Тогда для предельной упругой нагрузки окончательно имеем

$$P_0 = 4\Delta_1 b_1 E \varepsilon_0^+ - q_g. \quad (15)$$

Величина удлинения стержня  $\delta$  при нагрузке  $0 < P < P_0$  определим из соотношения

$$\delta = \int_0^1 \varepsilon dx = \int_0^1 \frac{P + (1-x)q_g}{4\Delta_1 b_1 E} dx.$$

Величину удлинения стержня  $\delta_0$  при предельной упругой нагрузке  $P_0$  определяется выражением

$$\delta_0 = \int_0^1 \varepsilon dx = \int_0^1 \frac{P_0 + (1-x)q_g}{4\Delta_1 b_1 E} dx = \varepsilon_0^+ - \frac{q_g}{8\Delta_1 b_1 E}. \quad (16)$$

Если окажется, что величина нагрузки  $P \geq P_0$ , тогда имеет место второй случай, когда в левой части стержня реализуется нелинейный неупругий закон деформирования (7), а в правой части – упругое растяжение стержня.

Предельное верхнее значение нагрузки  $P_1$ , при которой возможен данный случай, определяется из условия равенства деформации предельному упругому значению  $\varepsilon = \varepsilon_0^+$  в правом конце стержня ( $x = 1$ ).

Тогда для вычисления  $P_1$  имеем выражение

$$P_1 = 4\Delta_1 b_1 E \varepsilon_0^+. \quad (17)$$

В случае, если нагрузка находится в интервале  $P_0 < P < P_1$ , значение деформации, равное предельной упругой  $\varepsilon_0^+$ , будет реализовываться на границе раздела двух областей  $x = x_s$ . Тогда для определения границы  $x = x_s$  справедливо уравнение

$$4\Delta_1 b_1 E \varepsilon_0^+ = P + (1 - x_s)q_g, \quad (18)$$

откуда получим

$$x_s = 1 - \frac{4\Delta_1 b_1 E \varepsilon_0^+ - P}{q_g}. \quad (19)$$



Из соотношений (17), (19) и условия  $P_0 < P < P_1$  видно, что для границы раздела областей  $x = x_s$  справедливо  $0 < x_s < 1$ .

Удлинение  $\delta$  при нагрузке  $P_0 < P < P_1$  определим из соотношений

$$\delta = \int_0^{x_s} \varepsilon_1(x) dx + \int_{x_s}^1 \varepsilon_2(x) dx,$$

где  $\varepsilon_1(x)$  – деформация на участке  $[0, x_s]$ , а  $\varepsilon_2(x)$  – деформация на участке  $[x_s, 1]$ .

Деформацию  $\varepsilon_1(x)$  можно определить из решения уравнения

$$4\Delta_1 b_1 (A_1^{3+} \varepsilon_1(x) + A_2^{3+} (\varepsilon_1(x))^2 + A_3^{3+} (\varepsilon_1(x))^3) = P + (1-x)q_g, \quad (20)$$

а деформацию  $\varepsilon_2(x)$  из соотношений

$$\varepsilon_2(x) = \frac{P + (1-x)q_g}{4\Delta_1 b_1 E}.$$

Удлинение  $\delta_1$  при нагрузке  $P_1$  определяется соотношением

$$\delta_1 = \int_0^1 \varepsilon_1(x) dx, \quad (21)$$

где  $\varepsilon_1(x)$  определяется из кубического относительно  $\varepsilon_1(x)$  уравнения с помощью формулы Кардано [22]

$$4\Delta_1 b_1 (A_1^{3+} \varepsilon_1(x) + A_2^{3+} (\varepsilon_1(x))^2 + A_3^{3+} (\varepsilon_1(x))^3) = 4\Delta_1 b_1 E \varepsilon_0^+ + (1-x)q_g. \quad (22)$$

Для третьего случая в левом конце стержня нагрузка должна быть такая, что деформация не должна превышать предельное значение упрочнения (предразрушения)  $\varepsilon_*^+$ , т.е.

$$P_2 = 4\Delta_1 b_1 (A_1^{3+} \varepsilon_*^+ + A_2^{3+} (\varepsilon_*^+)^2 + A_3^{3+} (\varepsilon_*^+)^3) - q_g. \quad (23)$$

Таким образом, нагрузка должна находиться в интервале  $P_1 \leq P < P_2$ . В случае превышения нагрузки значения  $P_2$  в стержне будут участки, где деформация превышает деформации упрочнения (предразрушения), и будем считать, что стержень теряет несущую способность.

Удлинение  $\delta$  при нагрузке  $P_1 < P \leq P_2$  определим из соотношений

$$\delta = \int_0^1 \varepsilon(x) dx, \quad (24)$$

где  $\varepsilon(x)$  решение уравнения

$$4\Delta_1 b_1 (A_1^{3+} \varepsilon(x) + A_2^{3+} (\varepsilon(x))^2 + A_3^{3+} (\varepsilon(x))^3) = P + (1-x)q_g. \quad (25)$$

Рассмотрим стержень длины 1 с постоянным поперечным двутавровым сечением, симметричным вдоль осей  $Ox$ ,  $Oy$  (рис. 10), с параметрами  $\Delta_1$ ,  $\Delta_2$ ,  $b_1$ ,  $b_2$ . Положим, что в стержне послойно могут быть реализованы различные марки бетонов, соответственно с различными физическими характеристиками. Положим, что в первом слое стержня ( $0 < z < \Delta_1$ ) бетон с модулем упругости  $E_1$ , предельными деформациями  $\varepsilon_{01}^+$ ,  $\varepsilon_{01}^-$ ,  $\varepsilon_{*1}^+$ ,  $\varepsilon_{*1}^-$  и в области нелинейного деформирования коэффициентами  $A_{11}^{3+}$ ,  $A_{21}^{3+}$ ,  $A_{31}^{3+}$ ,  $A_{11}^{3-}$ ,  $A_{21}^{3-}$ ,  $A_{31}^{3-}$  (7), а во втором слое ( $\Delta_1 < z < \Delta_1 + \Delta_2$ ) соответственно с параметрами  $E_2$ ,  $\varepsilon_{02}^+$ ,  $\varepsilon_{02}^-$ ,  $\varepsilon_{*2}^+$ ,  $\varepsilon_{*2}^-$ ,  $A_{12}^{3+}$ ,  $A_{22}^{3+}$ ,  $A_{32}^{3+}$ ,  $A_{12}^{3-}$ ,  $A_{22}^{3-}$ ,  $A_{32}^{3-}$ . В дальнейшем для определенности положим, что  $\varepsilon_{01}^+ < \varepsilon_{02}^+$  и  $\varepsilon_{*1}^+ < \varepsilon_{*2}^+$ . Случаи  $\varepsilon_{01}^+ > \varepsilon_{02}^+$  и  $\varepsilon_{*1}^+ > \varepsilon_{*2}^+$  рассматриваются аналогично.

Сила тяжести, действующая на многослойный стержень, определяется соотношениями

$$q(x) = q_g = \frac{4g}{l\sigma_{1*}} (b_1\Delta_1\rho_1 + b_2\Delta_2\rho_2),$$

где  $\rho_1, \rho_2$  – плотности первого и второго слоя стержня.

Из указанного соотношения можно определить удлинение  $\delta_2$  при нагрузке  $P = P_2$ .

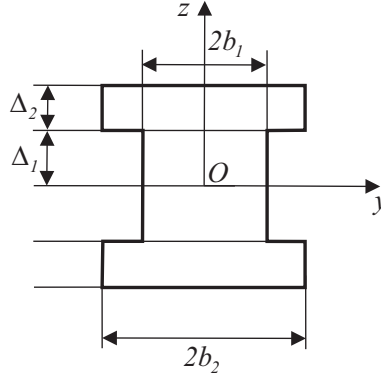


Рис. 10. Стержень двутаврового поперечного сечения

Рассмотрим аналогичную предыдущему случаю задачу о растяжении многослойного стержня (рис. 9). В этом случае в области упругого деформирования соотношения (14) примут вид

$$N = 4 \int_0^{\Delta_1} \int_0^{b_1} \sigma dy dz + 4 \int_0^{\Delta_2} \int_0^{b_2} \sigma dy dz = 4(\Delta_1 b_1 E_1 + \Delta_2 b_2 E_2) \varepsilon, \quad (26)$$

и выражение для предельной упругой нагрузки  $P_0$ , которое для однородного стержня имело вид (15), примет вид

$$P_0 = 4(\Delta_1 b_1 E_1 + \Delta_2 b_2 E_2) \varepsilon_0^+ - q_g, \quad (27)$$

где предельная деформация  $\varepsilon_0^+ = \min\{\varepsilon_{01}^+, \varepsilon_{02}^+\} = \varepsilon_{01}^+$ .

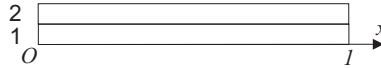


Рис. 11. Случай  $P < P_0$

Для нагрузки  $P < P_0$  (рис. 11), где цифрами обозначены номера слоев стержня, имеем для удлинения стержня  $\delta$

$$\delta = \int_0^l \varepsilon(x) dx = \frac{2P + q_g}{8(\Delta_1 b_1 E_1 + \Delta_2 b_2 E_2)}.$$

Для удлинения  $\delta_0$  при предельной упругой нагрузке  $P_0$  имеем

$$\delta_0 = \varepsilon_0 - \frac{q_g}{8(\Delta_1 b_1 E_1 + \Delta_2 b_2 E_2)}. \quad (28)$$

В случае, если нагрузка превышает значение  $P_0$ , тогда в первом слое реализуется нелинейное неупругое деформирование, а во втором до нагрузки  $P_{01}$  – упругое. Указанную нагрузку  $P_{01}$  можно определить из соотношений

$$P_{01} = 4\Delta_1 b_1 (A_{11}^{3+} \varepsilon_{02}^+ + A_{21}^{3+} (\varepsilon_{02}^+)^2 + A_{31}^{3+} (\varepsilon_{02}^+)^3) + 4\Delta_2 b_2 E_2 \varepsilon_{02}^+ - q_g. \quad (29)$$

При условии, что  $P_0 < P < P_{01}$ , можно определить значение  $x_{s1}$ , которое будет разделять две области – область нелинейного неупругого деформирования и упругого деформирования в первом слое

$$x_{s1} = 1 - \frac{4\Delta_1 b_1 E_1 \varepsilon_{01}^+ + 4\Delta_2 b_2 E_2 \varepsilon_{01}^+ - P}{q_g}. \quad (30)$$

Из соотношения (30) и условия  $P > P_0$  следует, что  $x_{s1} > 0$ . Значение нагрузки  $P$ , при которой первый слой стержня испытывает нелинейное неупругое деформирование по всей длине, а второй полностью упругое деформирование, определяется из условия  $x_{s1} = 1$ . Если указанную нагрузку обозначить через  $P_{02}$ , то имеем

$$P_{02} = 4\Delta_1 b_1 E_1 \varepsilon_{01}^+ + 4\Delta_2 b_2 E_2 \varepsilon_{01}^+. \quad (31)$$

Очевидно, что указанный случай может иметь место только в случае  $P_{02} < P_{01}$ , т.е. физические параметры стержня должны быть таковы, что должно быть справедливо соотношение

$$4\Delta_1 b_1 E_1 \varepsilon_{01}^+ + 4\Delta_2 b_2 E_2 \varepsilon_{01}^+ < 4\Delta_1 b_1 (A_{11}^{3+} \varepsilon_{02}^+ + A_{21}^{3+} (\varepsilon_{02}^+)^2 + A_{31}^{3+} (\varepsilon_{02}^+)^3) + 4\Delta_2 b_2 E_2 \varepsilon_{02}^+ - q_g. \quad (32)$$

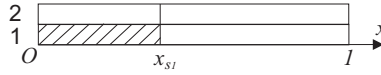


Рис. 12. Случай  $P_0 < P < P_{01} < P_{02}$

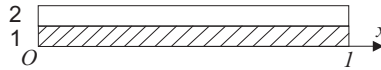


Рис. 13. Случай  $P_{02} < P < P_{01}$

При нагрузке  $P_0 < P < P_{01} < P_{02}$  (рис. 12), где заштрихованная область соответствует области нелинейного неупругого деформирования, имеем для удлинения  $\delta$

$$\delta = \int_0^{x_{s1}} \varepsilon_1(x) dx + \int_{x_{s1}}^1 \varepsilon_2(x) dx,$$

где деформация  $\varepsilon_1(x)$  определяется из решения уравнения

$$4\Delta_1 b_1 (A_{11}^{3+} \varepsilon_1(x) + A_{21}^{3+} (\varepsilon_1(x))^2 + A_{31}^{3+} (\varepsilon_1(x))^3) + 4\Delta_2 b_2 E_2 \varepsilon_1(x) = P + (1-x)q_g,$$

то есть для деформации  $\varepsilon_2(x)$  справедливо

$$\varepsilon_2(x) = \frac{P + (1-x)q_g}{4\Delta_1 b_1 E_1 + 4\Delta_2 b_2 E_2}.$$

Если имеет место  $P_{02} < P < P_{01}$  (рис. 13), тогда для удлинения  $\delta$  имеет место

$$\delta = \int_0^1 \varepsilon(x) dx,$$

где деформация  $\varepsilon(x)$  определяется из уравнения

$$4\Delta_1 b_1 (A_{11}^{3+} \varepsilon(x) + A_{21}^{3+} (\varepsilon(x))^2 + A_{31}^{3+} (\varepsilon(x))^3) + 4\Delta_2 b_2 \varepsilon(x) = P + (1-x)q_g.$$

Если  $P_{01} < P < P_{02}$ , тогда в первом слое стержня на участке  $[0, x_{s1}]$  и во втором слое стержня на участке  $[0, x_{s2}]$  имеет место нелинейное неупругое деформирование, в остальных областях – упругое (рис. 14).

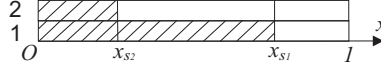


Рис. 14. Случай  $P_{01} < P < P_{02}$

Указанные границы  $x_{s1}$ ,  $x_{s2}$  определяются из соотношений

$$x_{s1} = 1 - \frac{4\Delta_1 b_1 E_1 \varepsilon_{01}^+ + 4\Delta_2 b_2 E_2 \varepsilon_{01}^+ - P}{q_g}, \quad (33)$$

$$x_{s2} = 1 - \frac{4\Delta_1 b_1 (A_{11}^{3+} \varepsilon_{02}^+ + A_{21}^{3+} (\varepsilon_{02}^+)^2 + A_{31}^{3+} (\varepsilon_{02}^+)^3) + 4\Delta_2 b_2 E_2 \varepsilon_{02}^+ - P}{q_g}.$$

Удлинение  $\delta$  стержня в случае  $P_{01} < P < P_{02}$  определяется по соотношениям

$$\delta = \int_0^{x_{s1}} \varepsilon_1(x) dx + \int_{x_{s1}}^{x_{s2}} \varepsilon_2(x) dx + \int_{x_{s2}}^1 \varepsilon_3(x) dx,$$

где деформации  $\varepsilon_1(x)$ ,  $\varepsilon_2(x)$ ,  $\varepsilon_3(x)$  определяются из соотношений

$$4\Delta_1 b_1 (A_{11}^{3+} \varepsilon_1(x) + A_{21}^{3+} (\varepsilon_1(x))^2 + A_{31}^{3+} (\varepsilon_1(x))^3) +$$

$$+ 4\Delta_2 b_2 (A_{12}^{3+} \varepsilon_1(x) + (\varepsilon_1(x))^2 + A_{32}^{3+} (\varepsilon_1(x))^3) = P + (1-x)q_g,$$

$$4\Delta_1 b_1 (A_{11}^{3+} \varepsilon_2(x) + A_{21}^{3+} (\varepsilon_2(x))^2 + A_{31}^{3+} (\varepsilon_2(x))^3) + 4\Delta_2 b_2 E_2 \varepsilon_2(x) = P + (1-x)q_g,$$

$$\varepsilon_3(x) = \frac{P + (1-x)q_g}{4\Delta_1 b_1 E_1 + 4\Delta_2 b_2 E_2}.$$

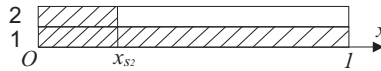


Рис. 15. Случай  $P_{02} < P_{01} < P < P_1$

При нагрузке  $P_{02} < P_{01} < P < P_1$  имеем, что первый слой стержня полностью находится в области нелинейного неупругого деформирования, а второй слой имеет участок нелинейного неупругого деформирования  $[0, x_{s2}]$  и  $[x_{s2}, 1]$  – участок упругого деформирования (рис. 15).

Указанную границу  $x_{s2}$  можно определить из соотношений

$$x_{s2} = 1 - \frac{4\Delta_1 b_1 (A_{11}^{3+} \varepsilon_{02}^+ + A_{21}^{3+} (\varepsilon_{02}^+)^2 + A_{31}^{3+} (\varepsilon_{02}^+)^3) + 4\Delta_2 b_2 E_2 \varepsilon_{02}^+ - P}{q_g}. \quad (34)$$

Для удлинения  $\delta$  при нагрузке  $P_{02} < P_{01} < P < P_1$  имеем

$$\delta = \int_0^{x_{s1}} \varepsilon_1(x) dx + \int_{x_{s1}}^1 \varepsilon_2(x) dx,$$

где деформации  $\varepsilon_1(x)$ ,  $\varepsilon_2(x)$  можно найти из уравнений

$$\begin{aligned} & 4\Delta_1 b_1 (A_{11}^{3+} \varepsilon_1(x) + A_{21}^{3+} (\varepsilon_1(x))^2 + A_{31}^{3+} (\varepsilon_1(x))^3) + \\ & + 4\Delta_2 b_2 (A_{12}^{3+} \varepsilon_1(x) + (\varepsilon_1(x))^2 + A_{32}^{3+} (\varepsilon_1(x))^3) = P + (1-x)q_g, \\ & 4\Delta_1 b_1 (A_{11}^{3+} \varepsilon_2(x) + A_{21}^{3+} (\varepsilon_2(x))^2 + A_{31}^{3+} (\varepsilon_2(x))^3) + 4\Delta_2 b_2 E_2 \varepsilon_2(x) = P + (1-x)q_g. \end{aligned}$$

Предельная нагрузка  $P_1$ , соответствующая случаю, когда оба слоя стержня по всей длине оказались в области нелинейного неупругого деформирования, определяется из соотношений

$$P_1 = 4\Delta_1 b_1 (A_{11}^{3+} \varepsilon_{02}^+ + A_{21}^{3+} (\varepsilon_{02}^+)^2 + A_{31}^{3+} (\varepsilon_{02}^+)^3) + 4\Delta_2 b_2 E_2 \varepsilon_{02}^+. \quad (35)$$

Удлинение  $\delta_1$ , соответствующее предельной нагрузке  $P_1$ , имеет вид

$$\delta_1 = \int_0^1 \varepsilon(x) dx, \quad (36)$$

где  $\varepsilon(x)$  определяется из соотношений

$$\begin{aligned} & 4\Delta_1 b_1 (A_{11}^{3+} \varepsilon(x) + A_{21}^{3+} (\varepsilon(x))^2 + A_{31}^{3+} (\varepsilon(x))^3) + \\ & + 4\Delta_2 b_2 (A_{12}^{3+} \varepsilon(x) + (\varepsilon(x))^2 + A_{32}^{3+} (\varepsilon(x))^3) = \\ & = 4\Delta_1 b_1 (A_{11}^{3+} \varepsilon_{02}^+ + A_{21}^{3+} (\varepsilon_{02}^+)^2 + A_{31}^{3+} (\varepsilon_{02}^+)^3) + 4\Delta_2 b_2 E_2 \varepsilon_{02}^+ + (1-x)q_g. \end{aligned} \quad (37)$$

Предельную нагрузку, которую выдержит стержень, определим из соотношений

$$\begin{aligned} P_2 = & 4\Delta_1 b_1 (A_{11}^{3+} \varepsilon_*^+ + A_{21}^{3+} (\varepsilon_*^+)^2 + A_{31}^{3+} (\varepsilon_*^+)^3) + \\ & + 4\Delta_2 b_2 (A_{12}^{3+} \varepsilon_*^+ + A_{22}^{3+} (\varepsilon_*^+)^2 + A_{32}^{3+} (\varepsilon_*^+)^3) - q_g, \end{aligned} \quad (38)$$

где величина предельной деформации равна  $\varepsilon_*^+ = \min\{\varepsilon_{*1}^+, \varepsilon_{*2}^+\}$ .

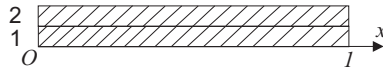


Рис. 16. Случай  $P_1 < P < P_2$

Случай  $P_1 < P < P_2$  соответствует случаю нелинейного неупругого деформирования стержня в обоих слоях стержня до потери им несущей способности (рис. 16).

Удлинение в случае  $P_1 < P \leq P_2$  будет равно

$$\delta = \int_0^1 \varepsilon(x) dx,$$

где

$$4\Delta_1 b_1 (A_{11}^{3+} \varepsilon(x) + A_{21}^{3+} (\varepsilon(x))^2 + A_{31}^{3+} (\varepsilon(x))^3) + \quad (39)$$

$$+4\Delta_2 b_2 (A_{12}^{3+} \varepsilon(x) + (\varepsilon(x))^2 + A_{32}^{3+} (\varepsilon(x))^3) = P + (1-x)q_g.$$

Удлинение  $\delta_2$ , соответствующее предельной нагрузке  $P_2$ , можно получить из предыдущей формулы, положив, что  $P = P_2$ .

В качестве примера рассмотрим эталонный однородный стержень из бетона марки В10 с параметрами поперечного сечения

$$\Delta_1 = b_1 = 0,5 \quad (40)$$

и физическими параметрами из таблиц 2, 3, тогда по соотношениям (15), (16), (17), (21), (22), (22), (23), (24) получим для предельных нагрузок  $P$  и удлинения стержня  $\delta$

$$P_0 = 0,09945, \quad P_1 = 0,10273, \quad P_2 = 0,11411 \quad (41)$$

$$\delta_0 = 4,92 \cdot 10^{-5}, \quad \delta_1 = 5,2987 \cdot 10^{-5}, \quad \delta_2 = 1,4862 \cdot 10^{-4}.$$

Уравнения (22), (24) в общем случае могут иметь три решения. Для определения решения уравнения (22) необходимо учитывать условие, что деформация вдоль длины стержня  $\varepsilon_1(x)$  при нагрузке  $P_1$  такова, что весь стержень находится в области нелинейного неупругого деформирования, а в правом крае стержня деформация должна быть равна предельной упругой при растяжении, т.е.  $\varepsilon_1(1) = \varepsilon_0^+$ . Аналогично определяем решение уравнения (24), полагая, что при нагрузке  $P_2$  кривая  $\varepsilon(x)$  должна проходить через точку  $x = 0$ ,  $\varepsilon(x) = \varepsilon_*^+$ . Решения, соответствующие данным условиям, изображены на рис. 17. Площади, образованные кривыми  $\varepsilon_1(x)$ ,  $\varepsilon(x)$  (рис. 17), являются удлинениями стержня  $\delta_1$  и  $\delta_2$  соответственно.

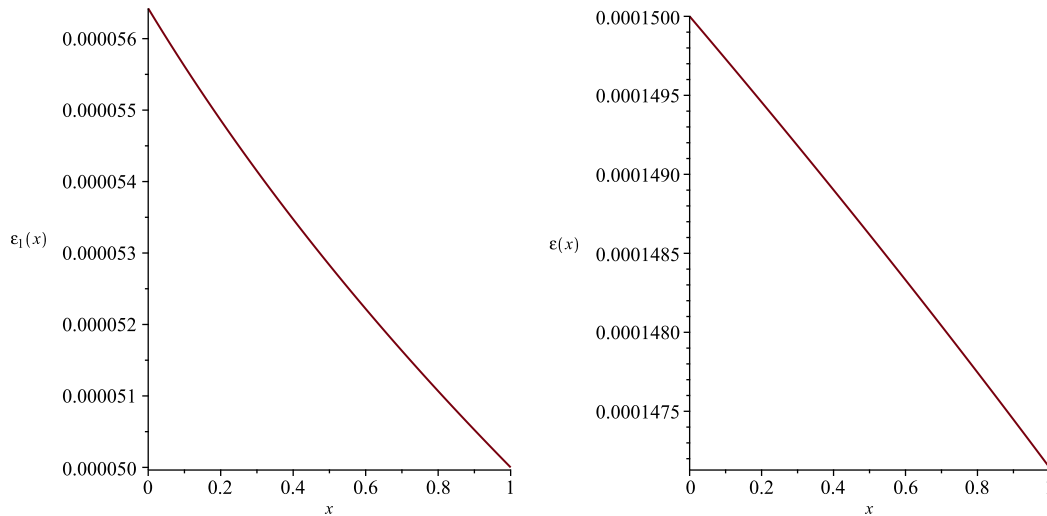


Рис. 17. Распределение деформаций вдоль длины стержня при нагрузке  $P_1$  и  $P_2$  соответственно

Если в соотношениях (15), (16), (17), (21), (22), (22), (23), (24) положим, что  $q_g = 0$ , т.е. пренебрежем действием силы тяжести, тогда для предельных нагрузок  $P$  и

удлинения стержня  $\delta$  имеем

$$\begin{aligned} P_0 = 0,10273, \quad P_1 = 0,10273, \quad P_2 = 0,117389, \\ \delta_0 = 5 \cdot 10^{-5}, \quad \delta_1 = 5 \cdot 10^{-5}, \quad \delta_2 = 1,5 \cdot 10^{-4}. \end{aligned} \quad (42)$$

В случае отсутствия силы тяжести в стержне деформации и продольные усилия постоянные, поэтому при достижении предельной упругой нагрузки в левом конце стержня весь стержень оказывается в зоне нелинейного неупругого деформирования, поэтому в полученных решениях (40) нагрузки  $P_0, P_1$  и удлинения  $\delta_0 = \delta_1$  одинаковые.

Сравнивая решения (40) с учетом силы тяжести и (42), можно увидеть, что предельная упругая нагрузка  $P_0$  без учета силы тяжести на 10% больше, чем с учетом, причем удлинение стержня при предельной упругой нагрузке в случае с учетом силы тяжести меньше на 2%. Предельная нагрузка  $P_1$  оказалась в обоих случаях одинаковой, а удлинение в случае учета силы тяжести больше на 4%, что объясняется тем, что при одинаковой нагрузке  $P$  на стержень в случае учета силы тяжести принимается в расчет еще дополнительно распределенная нагрузка. Нагрузка  $P_2$ , соответствующая появлению участков с деформацией, равной предельной деформации упрочнения, в случае учета силы тяжести меньше на 2,8%, и удлинение стержня также меньше в случае учета силы тяжести.

В дальнейшем рассмотренный выше однородный стержень из бетона В10 (рис. 1) с параметрами сечения (40) будем считать эталонным и будем рассматривать составные стержни (рис. 10), имеющие одинаковую массу по сравнению с эталонным стержнем.

В случае одинаковой массы рассматриваемых составных стержней имеем, что все стержни должны удовлетворять соотношениям

$$\Delta_{\text{э}} b_{\text{э}} \rho_{\text{э}} = \Delta_{1i} b_{1i} \rho_{1i} + \Delta_{2i} b_{2i} \rho_{2i}, \quad (43)$$

где  $\Delta_{\text{э}}, b_{\text{э}}$  – толщина и ширина стержня в поперечном сечении,  $\rho_{\text{э}}$  – плотность бетона эталонного стержня,  $\Delta_{1i}, \Delta_{2i}, b_{1i}, b_{2i}$  – параметры поперечного сечения составного стержня (10),  $\rho_{1i}, \rho_{2i}$  – плотности первого и второго слоя стержня соответственно. В дальнейших расчетах будем полагать плотности бетонов марок В10, В30, В50 равными соответственно  $\rho_1 = 2500 \text{ кг/м}^3$ ,  $\rho_2 = 2800 \text{ кг/м}^3$ ,  $\rho_3 = 3100 \text{ кг/м}^3$ .

Рассмотрим слоистый стержень с параметрами сечения

$$\Delta_1 = 0,25, \quad \Delta_2 = 0,16964, \quad b_1 = b_2 = 0,5, \quad (44)$$

причем если в первом слое стержня в качестве фазового материала будет взят бетон марки В50, а во втором бетон марки В30, тогда масса стержня с параметрами (44) будет равна массе эталонного стержня (41).

По соотношениям (27), (35), (38) для стержня с параметрами (44) получим выражения для предельных нагрузок и удлинений

$$\begin{aligned} P_0 = 0,1841, \quad P_1 = 0,22048, \quad P_2 = 0,247875, \\ \delta_0 = 3,71 \cdot 10^{-5}, \quad \delta_1 = 5,13 \cdot 10^{-5}, \quad \delta_2 = 1,494 \cdot 10^{-4}. \end{aligned} \quad (45)$$

Корректность выбора решений уравнений (37), (39) можно проверить по графикам распределения деформаций при заданных предельных нагрузках. Из рисунка 18 а) видно, что деформация в стержне, соответствующая предельной нагрузке  $P_1$  (уравнение (37)), проходит через точку  $\varepsilon(1) = \varepsilon_{02}^+$ , а деформация при нагрузке  $P_2$  (уравнение (39)) проходит через точку  $\varepsilon(0) = \varepsilon_*^+$ .

Рассмотрим стержни, одинаковой массы по сравнению с эталонным стержнем (43), с параметрами, указанными в таблице 6. Расчетные значения предельных усилий, соответствующих удлинений стержня и отношение разности предельных нагрузок рассматриваемого и эталонного стержня к предельной нагрузке эталонного стержня (если нагрузка считалась с учетом силы тяжести, то и для эталонного стержня нагрузка считалась тоже с учетом силы тяжести и наоборот) поместим в таблицу 7, причем знак плюс будет соответствовать тому, что предельная нагрузка больше, а минус – предельная нагрузка меньше по сравнению с эталонным стержнем.

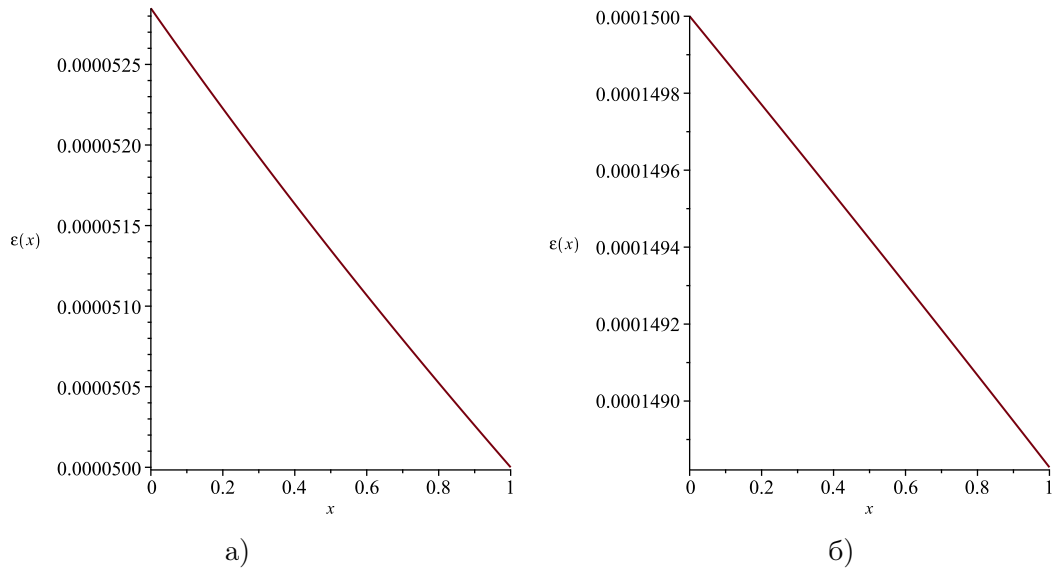


Рис. 18. Распределение деформаций вдоль длины стержня при нагрузке а)  $P_1$ , б)  $P_2$



№	$\Delta_1$	$\Delta_2$	$b_1$	$b_2$	Сила тяжести	Слой 1	Слой 2
1	0,25	0,17	0,5	0,5	+	B50	B30
2	0,25	0,17	0,5	0,5	-	B50	B30
3	0,25	0,19	0,5	0,5	+	B50	B10
4	0,25	0,19	0,5	0,5	-	B50	B10
5	0,25	0,22	0,5	0,5	+	B30	B10
6	0,25	0,22	0,5	0,5	-	B30	B10
7	0,3	0,19	0,5	0,3	+	B50	B30
8	0,3	0,19	0,5	0,3	-	B50	B30
9	0,4	0,2	0,3	0,4	+	B50	B50
10	0,4	0,2	0,3	0,4	-	B50	B50
11	0,35	0,28	0,4	0,3	+	B30	B30
12	0,35	0,28	0,4	0,3	-	B30	B30

Таблица 6. Параметры поперечных сечений, марки бетонов, реализованные в слоях составных эквивалентных по массе стержней, и наличие или отсутствие действия силы тяжести при расчетах

№	$P_0$	$P_1$	$P_2$	$\delta_0, 10^{-5}$	$\delta_1, 10^{-5}$	$\delta_2, 10^{-4}$	$\Delta P_0/P_{0э}$	$\Delta P_1/P_{1э}$	$\Delta P_2/P_{2э}$
1	0,1841	0,2205	0,2479	3,717	5,139	1,494	85 %	114 %	117 %
2	0,1873	0,2205	0,2512	3,75	5	1,5	82 %	115 %	113 %
3	0,15938	0,18753	0,207	3,7122	5,17	1,493	60 %	82 %	81 %
4	0,16266	0,18753	0,21028	3,75	5	1,5	58 %	82 %	79 %
5	0,148	0,1513	0,1743	4,94	5,175	1,49	48 %	47 %	52 %
6	0,1512	0,1512	0,1776	5,00	5,00	1,5	47 %	47 %	51 %
7	0,1931	0,2266	0,2531	3,71	5,14	1,49	94 %	120 %	121 %
8	0,1964	0,2266	0,2564	3,75	5,00	1,5	91 %	120 %	118 %
9	0,212	0,215	0,263	3,72	3,81	1,49	113 %	109 %	131 %
10	0,215	0,215	0,267	3,75	3,75	1,5	109 %	109 %	127 %
11	0,186	0,189	0,221	4,95	5,13	1,492	87 %	84 %	94 %
12	0,1894	0,1894	0,2249	5	5	1,5	84 %	84 %	91 %

Таблица 7. Расчетные значения предельных нагрузок, соответствующих этим нагрузкам удлинений составных эквивалентных по массе стержней и относительное изменение предельных нагрузок по сравнению с эталонным стержнем для стержней с параметрами из таблицы 6

## ЛИТЕРАТУРА

- [1] Мут А. Р. Современные технологии производства ЖБИ // Бетон и железобетон. Оборудование. Материалы. Технологии. 2009. С. 20–23.
- [2] Мищенко А. В. Прямая и обратная задачи деформирования слоистых стержней с учетом физической нелинейности // Численные методы решения задач теории упругости и пластичности: труды XIX Всероссийской конференции, Бийск, 28-31 августа 2005 г. Параллель, 2005. С. 184–188.

- [3] Немировский Ю. В., Тихонов С. В. Предельное состояние бетонных и железобетонных стержней при сложном и продольно-поперечном изгибе // Вестник Пермского национального исследовательского политехнического университета. Механика. 2020. № 1. С. 60–73.
- [4] Немировский Ю. В., Тихонов С. В. Продольно-поперечный изгиб многослойных стержней из бетонов и сталефибробетонов // Известия Алтайского государственного университета. 2021. № 1(117). С. 40–46.
- [5] Nemirovskii Y. V., Tikhonov S. V. On the stability loss of a rapidly rotating polycrystalline disc // Mechanics of Solids. 2020. Vol. 55(6). p. 767–775.
- [6] Немировский Ю. В., Тихонов С. В. Влияние формы поперечного сечения многослойного бетонного стержня на несущую способность при продольно-поперечной нагрузке // Механика композиционных материалов и конструкций, сложных и гетерогенных сред. Сборник тезисов 9-й всероссийской научной конференции с международным участием им. И.Ф. Образцова и Ю.Г. Яновского, посвященной 30-летию ИПРИМ РАН. 2019. С. 185–189.
- [7] Немировский Ю. В., Тихонов С. В. Продольно-поперечный изгиб многослойных бетонных стержней армированных стальной арматурой под действием массовых сил // Вестник Чувашия государственного педагогического университета им. И. Я. Яковлева. Серия: Механика предельного состояния. 2021. № 2(48). С. 94–103.
- [8] Nemirovskii Y. V., Tikhonov S. V. Longitudinal-transverse bending of physically nonlinear rods by quasi-static loads and mass forces // Lecture Notes in Civil Engineering. 2021. Vol. 170. P. 447–457.
- [9] Nemirovskii Y. V., Tikhonov S. V. Longitudinal-Transverse Bending of Reinforced Concrete Rods on The Basis of Nonlinear Diagrams of Deformation of Phase Materials // AIP Conference Proceedings. 2021. Vol. 2448. p. 020024.
- [10] Немировский Ю. В., Тихонов С. В. Продольно-поперечный изгиб физически-нелинейных железобетонных балок // Вестник Чувашия государственного педагогического университета им. И. Я. Яковлева. Серия: Механика предельного состояния. 2021. № 3(49). С. 85–93.
- [11] Мищенко А. В., Немировский Ю. В. Нелинейное деформирование бетонных элементов при продольно-поперечном изгибе // Известия вузов. Строительство. 2013. № 4. С. 133–146.
- [12] Плевков В. С., Колупаева С. Н., Кудряков К. Л. Расчетные диаграммы нелинейного деформирования базальто-фибробетона при статических и кратковременных динамических воздействиях // Вестник Томского государственного архитектурно-строительного университета. 2016. № 3. с. 95–110.
- [13] Лукаш П. А. Основы нелинейной строительной механики. Москва: Строительство, 1974. 208 с.
- [14] Немировский Ю. В., Тихонов С. В. Влияние формы поперечного сечения и силы тяжести на деформирование многослойных бетонных стержней при квазистатических нагрузках // Моделирование и механика конструкций. 2020. № 12. С. 11–49.
- [15] Немировский Ю. В., Болтаев А. И. Диаграммы деформирования бетонов и железобетонов // Вестник Белгородского государственного технологического университета им. В.Г. Шухова. 2015. № 6. с. 125–129.
- [16] Немировский Ю. В. Прогнозирование нелинейного деформирования гибридных композитных материалов // Проблемы нелинейной механики деформируемого твердого тела : материалы второй международной конференции, Казань, Россия, 8-11 декабря 2009 г. Казань: Казанский гос. ун-т, 2009.
- [17] Немировский Ю. В. Метод расчета стержневых композитных стержней из разномодульных материалов // Фундаментальные и прикладные проблемы современной механики: Материалы V Всероссийской научной конференции. Томск: Изд-во ТГУ, 2006. С. 288–290.
- [18] Немировский Ю. В. Допредельное деформирование гибридных армированных бетонных конструкций // Вестник Чувашия государственного педагогического университета им. И. Я. Яковлева. Серия: Механика предельного состояния. 2018. № 3(37). С. 26–37.
- [19] Немировский Ю. В. Второе предельное состояние однородных и композитных балок // Вестник Чувашия государственного педагогического университета им. И. Я. Яковлева. Серия: Механика предельного состояния. 2009. № 1(6). С. 150–159.
- [20] Иващенко Е. И. Разработка методов расчета железобетонных элементов на основе действительных диаграмм деформирования материалов с учетом фактического изменения площади их поперечных сечений // дис. ... канд. техн. наук. Воронеж, 2006. 230 с.

- [21] Маилян Л. Р., Иващенко Е. И. Расчет железобетонных элементов на основе действительных диаграмм деформирования материалов. Ростов-на-Дону: Изд-во Ростовский гос. строит. ун-т, 2006. 222 с.
- [22] Корн Г., Корн Т. Справочник по математике (для научных работников и инженеров). М.: Наука, 1973. 720 с.

*Yu. V. Nemirovskii, S. V. Tikhonov*

## STUDY OF THE FEATURES OF DEFORMATION AND DESTRUCTION OF CONCRETE LAYERED RODS

*S. Khristianovich Institute of Theoretical and Applied Mechanics of the Siberian Branch of the RAS, Novosibirsk, Russia*

*Novosibirsk state technical University, Novosibirsk, Russia*

*I. Ulyanov Chuvash State University, Cheboksary, Russia*

**Abstract.** The problem of central tension of a homogeneous and multilayer concrete rod by quasi-static loads is considered. The force of gravity acting on the rod is taken as a distributed load. The ultimate loads and elongations of the rod are determined depending on the physical parameters of the rod. At a deformation below the limiting elastic one, it is assumed that the concrete deforms linearly, otherwise it is non-linearly inelastic. Examples of calculations based on the obtained ratios for layered rods of the same mass are given, where different grades of concrete can be realized in each layer.

**Keywords:** multilayer rod, central tension, physical non-linearity, limit loads

## REFERENCES

- [1] Mut A. Modern concrete production technologies // Concrete and reinforced concrete. Equipment. Materials. Technology. 2009. P. 20–23.
- [2] Mishchenko A. V. Direct and inverse problems of deformation of layered bars taking into account physical nonlinearity // Numerical methods for solving problems in the theory of elasticity and plasticity: Proceedings of the XIX All-Russian Conference, Biysk, August 28-31, 2005. Parallel, 2005. P. 184–188.
- [3] Nemirovsky Y. V., Tikhonov S. V. Ultimate state of concrete and reinforced concrete bars under complex and longitudinal-transverse bending // Bulletin of PNRPU. Mechanics. 2020. no. 1. p. 60–73.
- [4] Nemirovsky Y. V., Tikhonov S. V. Longitudinal-transverse bending of multilayer concrete and steel-fiber-reinforced concrete bars // News of the Altai State University. 2021. no. 1(117). P. 40–46.
- [5] Nemirovskii Y. V., Tikhonov S. V. On the stability loss of a rapidly rotating polycrystalline disc // Mechanics of Solids. 2020. Vol. 55(6). p. 767–775.
- [6] Nemirovsky Y. V., Tikhonov S. V. Influence of the cross-sectional shape of a multilayer concrete bar on the bearing capacity under longitudinal-transverse loading // Mechanics of composite materials and structures, complex and heterogeneous media. Collection of abstracts of the 9th All-Russian scientific conference with international participation named after V.I. I.F. Obraztsov and Yu.G. Yanovsky dedicated to the 30th anniversary of IPRIM RAS. 2019. P. 185–189.

---

*Nemirovskii Yuri Vladimirovich*, Dr. Sci. Phys. & Math., Professor, Leading Research Worker, S. Khristianovich Institute of Theoretical and Applied Mechanics of the Siberian Branch of the RAS, Novosibirsk, Russia, Novosibirsk state technical University, Novosibirsk, Russia.  
*Tikhonov Sergey Vladimirovich*, PHD, Assoc. Prof., I. Ulyanov Chuvash State

- 
- [7] Nemirovsky Y. V., Tikhonov S. V. Longitudinal-transverse bending of multilayer concrete bars reinforced with steel reinforcement under the action of body forces // *Bulletin of the Chuvash State Pedagogical University. I. Ya. Yakovleva. Series: Mechanics of the limit state.* 2021. no. 2(48). P. 94–103.
- [8] Nemirovskii Y. V., Tikhonov S. V. Longitudinal-transverse bending of physically nonlinear rods by quasi-static loads and mass forces // *Lecture Notes in Civil Engineering.* 2021. Vol. 170. P. 447–457.
- [9] Nemirovskii Y. V., Tikhonov S. V. Longitudinal-Transverse Bending of Reinforced Concrete Rods on The Basis of Nonlinear Diagrams of Deformation of Phase Materials // *AIP Conference Proceedings.* 2021. Vol. 2448. p. 020024.
- [10] Nemirovsky Y. V., Tikhonov S. V. Longitudinal-transverse bending of physically non-linear reinforced concrete beams // *Bulletin of the Chuvash State Pedagogical University. I. Ya. Yakovleva. Series: Mechanics of the limit state.* 2021. no. 3(49). P. 85–93.
- [11] Mishchenko A. V., Nemirovskiy Y. V. Nonlinear deformation of concrete elements during longitudinal-transverse bending // *News of universities. Construction.* 2013. no. 4. P. 133–146.
- [12] Plevkov V. S., Kolupaeva S. N., Kudyakov K. L. Design diagrams of non-linear deformation of basalt-fiber-reinforced concrete under static and short-term dynamic effects // *Bulletin of the Tomsk State University of Architecture and Civil Engineering.* 2016. no. 3. p. 95–110.
- [13] Ivlev D. D., Ershov L. V. *Perturbation method in the theory of elastic-plastic body.* M.: Science, 1978. 208 p.
- [14] Nemirovsky Y. V., Tikhonov S. V. Influence of the cross-sectional shape and gravity on the deformation of multilayer concrete bars under quasi-static loads // *Modeling and structural mechanics.* 2020. no. 12. P. 11–49.
- [15] Nemirovsky Y. V., Boltaev A. I. Diagrams of deformation of concrete and reinforced concrete // *Bulletin of the Belgorod State Technological University. V.G. Shukhov.* 2015. no. 6. p. 125–129.
- [16] Nemirovsky Y. V. Nonlinear Deformation Prediction for Hybrid Composite Materials // *Problems of non-linear mechanics of a deformable solid body: materials of the second international conference, Kazan, Russia, December 8-11, 2009.* Kazan: Kazan state. university, 2009.
- [17] Nemirovsky Y. V. Method of calculation of rod composite rods from different-modulus materials // *Fundamental and Applied Problems of Modern Mechanics: Proceedings of the V All-Russian Scientific Conference.* Tomsk: TSU publishing house, 2006. P. 288–290.
- [18] Nemirovsky Y. V. Prelimit deformation of hybrid reinforced concrete structures // *Bulletin of the Chuvash State Pedagogical University. I. Ya. Yakovleva. Series: Mechanics of the limit state.* 2018. no. 3(37). P. 26–37.
- [19] Nemirovsky Y. V. Second limit state of homogeneous and composite beams // *Bulletin of the Chuvash State Pedagogical University. I. Ya. Yakovleva. Series: Mechanics of the limit state.* 2009. no. 1. p. 150–159.
- [20] Ivashchenko E. I. Development of methods for calculating reinforced concrete elements based on actual material deformation diagrams, taking into account the actual change in their cross-sectional area // *dis. ... cand. tech. Sciences. Voronezh,* 2006. 230 p.
- [21] Mailyan L. R., Ivashchenko E. I. Calculation of reinforced concrete elements based on actual material deformation diagrams. Rostov-on-Don: Publishing house of the Rostov state. builds. un-t, 2006. 222 p.
- [22] Korn G., Korn T. *Handbook of mathematics (for scientists and engineers).* M.: Science, 1973. 720 p.